

リーフによる波の変形に関する研究

宮崎大学 工学部 正員 河野二夫
 " " ○学生員 松山若昭

1.はじめに

波動中におがれた物体による波の変形問題については、従来から理論的・実験的にも数多く研究されてきている。著者らは、その中で、リーフによる波のエネルギー逸散量の性質を明らかにするために、水波による模型前後の波形を計測して、反射率と通過率の算定結果からエネルギー逸散量を求めた。本論文は、その結果を取りまとめたものである。

2. 実験装置および実験方法

実験に用いた水路は、宮崎大学工学部土木工学科の長さ15m、幅0.8m、高さ1mの2次元造波水路で、その一端には、Flap-typeの造波板が取りつけてあり、片側の側壁は、ガラス張りになっている。

図-1に実験装置の概要を示した。図に示すように、水路の一方にステップ形状のリ

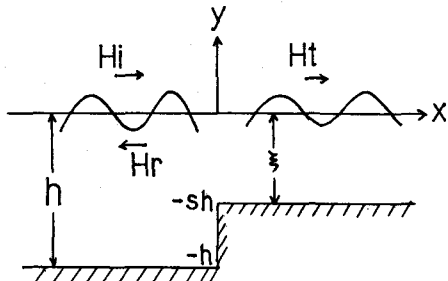


図-1 実験装置の概要

Waves			models			
T(sec)	Hi(cm)	Li(cm)	h(cm)	h-ξ(cm)	ξ(cm)	S
0.78	3.5	95.0	35		3.5	0.1
2.50	14.1	500.0	40	31.5	8.5	0.2125
			45		13.5	0.3

表-1 実験の諸元

ーフモデルを設置し、その端部には消波工を設けた。なお、図中に示してある s は、リーフ部内の水深およびリーフの高さを示すパラメーターである。実験は、各ケースについて、所定の水深を設けたのちに波を送り、入射波、反射波、通過波を計測し、ビデオカメラで記録した。表-1に実験の諸元を示した。

3. 実験結果と考察

A. 反射率(K_r)と通過率(K_t)

反射率と通過率の理論値と実験値を比較したものと図-2～図-4に示す。 S を固定した場合、理論曲線は、どのケースでも 0% の増加について、 K_r 、 K_t とも減少する傾向を示している。反射率についてみると、理論値と実験値

は比較的よく合うが、通過率は、あまりよく適合していない。

B. エネルギー逸散量

長さに対するエネルギー逸散量の関係を図-8～図-10に示す。なお、図中の点線は、日野の理論式で、実線は、著者らの算定した理論式による算定値である。

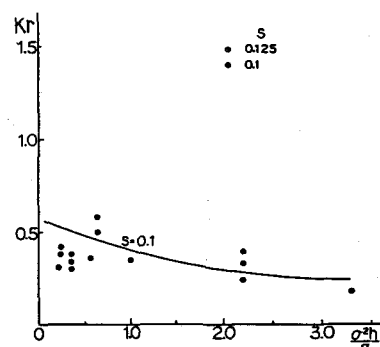


図-2 反射率

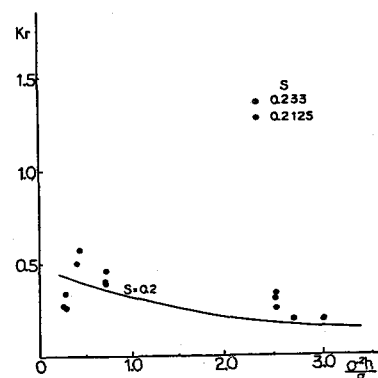


図-3 反射率

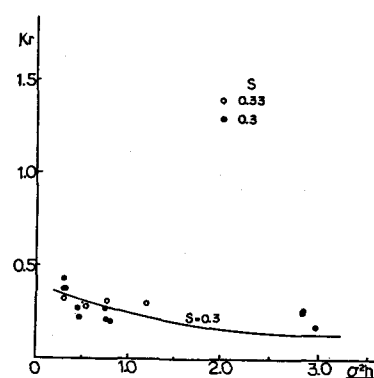


図-4 反射率

以下に、その理論式の結論だけを示す。

$$\text{著者らの式: } \frac{E}{E} = \frac{3\pi}{8} \frac{(1/H)}{K_h \cdot \sqrt{h-H}} \cdot \sinh^2 \frac{h}{H} \left\{ \sinh 2K_h(1-S) + 2K_h(1-S) \right\}$$

図の中で、 C_d は抵抗力係数であり、 E は次式で与えられる。

$$E = \frac{2\pi^3 H^3 \rho (h - \xi)}{3 T^2}$$

なお、 T は周期、 ρ は水の密度である。

日野らの式の中で、著者らの式は、垂直面に作用する進行波による波力を用いて、直接、エネルギー透散率を算定したものである。

図により、 K_t が増大するにつれて、エネルギー透散量 S の値は減少する傾向が、どのケ

ースについても見える。また、 S の値が、小さくなるほど理論値と実験値とは比較的よく合っている。以上のことから、通過率が理論値と実験値とあまり合っていなないのは、リーフ先端部での渦の発生やエネルギー損失などの要因が、影響しているのではないかと考えられる。

4. まとめ

今回の実験は、ステップ形状リーフのみの場合について述べた。また、実験データの数が少なかつたために、十分な結論を得ることができなかった。

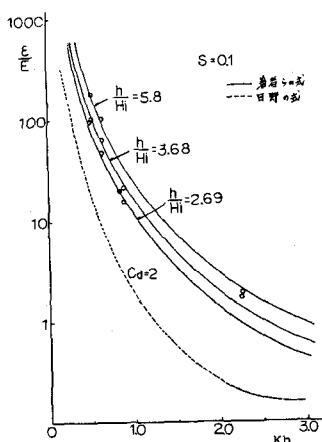


図-8. エネルギー透散量

(参考文献) 日野幹雄・山崎丈夫: 垂直板による波の反射率・通過率およびエネルギー損失、土木学会論文集、No. 190, 1971年

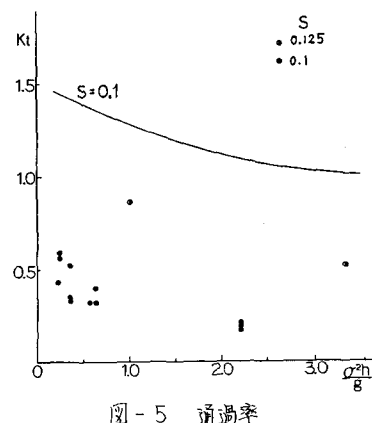


図-5 通過率

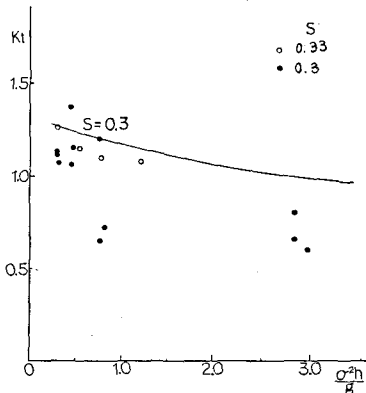


図-7 通過率

図-6 通過率

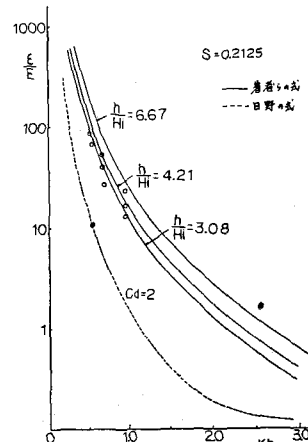


図-9. エネルギー透散量

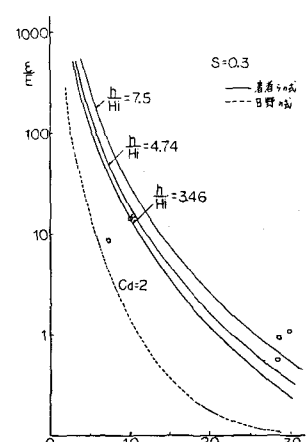


図-10. エネルギー透散量